

抽象構文木を利用した API の変更の分類

入山 優^{1,a)} 肥後 芳樹^{1,b)} 楠本 真二^{1,c)}

概要：ライブラリがアップグレードされると、API も変更される。API の変更は様々で、それらを自動で分類することはコードレビューやリリースノートの作成に役立つ。API の変更を自動で検出し、その種類ごとに分類するツールとして APIDiff がある。APIDiff は Java ライブラリの 2 つのバージョンを入力として受け取り、静的解析とコードの類似性に基づいて API の変更を検出して分類する。しかし、コードの類似性の閾値を適切に設定することは難しく、APIDiff はリファクタリングとして分類すべき API の変更を誤って分類する場合がある。そこで提案手法では、コードの類似性の閾値に依存せず抽象構文木を用いてリファクタリングを検出する RefactoringMiner を利用し、API の変更を分類する。8 個のオープンソースソフトウェアに対して実験を行った結果、既存手法と比べて API の変更をより高い精度で分類できることを確認した。また、提案手法により API に対して行われたリファクタリングの検出数が増加したことが明らかになった。

1. はじめに

多くのソフトウェアにおいて生産性の向上のためライブラリが活用されている [1, 2]。ライブラリは、アプリケーション・プログラミング・インターフェース（以下 API）を介して機能を提供している。ライブラリがアップグレードされると、API も変更される場合がある。API の変更は新機能の追加や不必要的機能の削除、保守性の向上を目的としたリファクタリングなど様々である。API の変更を自動で分類することは、コードレビューやリリースノートの作成に役立つ [3]。

API の変更を自動で検出し分類するツールとして、APIDiff [4] が提案されている。APIDiff は Java ライブラリの 2 つのバージョンを入力として受け取ると、そのバージョン間で適用された API の変更操作のリストを出力する。APIDiff は RefDiff [5] と呼ばれるリファクタリング検出ツールを利用していている。RefDiff は静的解析とコードの類似性に基づいて 2 つのバージョン間で適用されたリファクタリング操作のリストを出力する。APIDiff は静的解析を行うことでバージョンごとの API の要素（クラス、メソッド、フィールド）を検出し、変更前後の API 要素の比較結果と RefDiff によって得られるリファクタリング操作のリ

ストをもとに、API の変更を検出してその種類ごとに分類する。

この APIDiff を利用してさまざまな研究が行われている。例えばライブラリの安定性 [6]、API の互換性が失われる変更がクライアントに与える影響 [6]、開発者が API の互換性が失われる変更を行なった理由 [7, 8]、API の互換性が失われる変更の危険性に対する開発者の認識 [9] などを明らかにするための研究が行われている。

しかし、APIDiff には課題点がある。RefDiff においてコードの類似性の閾値を適切に設定することは難しく、APIDiff は API メソッドのパラメータリストの変更やフィールド名の変更といったリファクタリングとして分類すべき API の変更を API の削除および API の追加として誤って分類する場合がある。その結果、開発者や API の利用者が API の変更に対して誤った認識を持つ可能性がある。

そこで本研究は、コードの類似性の閾値に依存しない方法を用いて API の変更をより高い精度で分類できるようにすることを目的とする。APIDiff を改造し、RefDiff の代わりに RefactoringMiner [10] を用いて、API の変更を分類する手法を提案する。RefactoringMiner は Java ライブラリの 2 つのバージョンを入力として受け取ると、ステートメントマッピング情報と抽象構文木のノード置換に基づいてそのバージョン間で適用されたリファクタリング操作のリストを出力する。これによってコードの類似性の閾値に依存せずにリファクタリングを検出できる。提案手法では静的解析を行うことでバージョンごとの API の要素を検出し、変更前後の API 要素の比較結果と RefactoringMiner

¹ 大阪大学大学院情報科学研究科
Graduate School of Information Science and Technology, Osaka University

a) m-iriyam@ist.osaka-u.ac.jp

b) higo@ist.osaka-u.ac.jp

c) kusumoto@ist.osaka-u.ac.jp

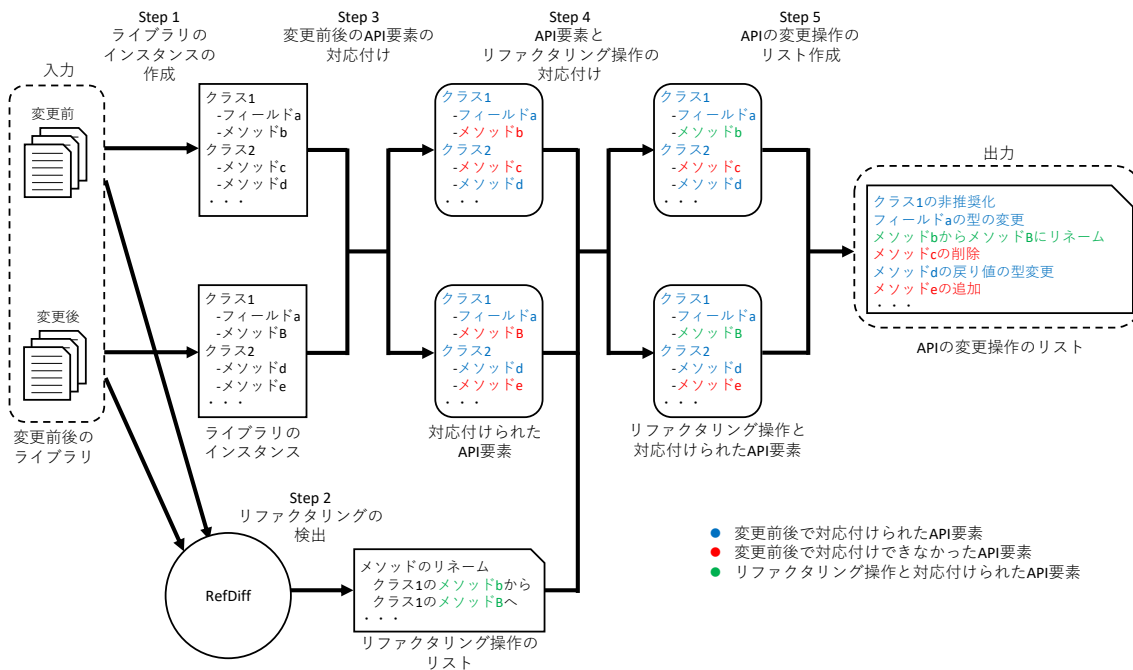


図 1 APIDiff の概要

によって得られるリファクタリング操作のリストをもとに、APIの変更を検出してその種類ごとに分類する。8個のオープンソースソフトウェア（以下 OSS）に対して実験を行った結果、既存手法と比べて API の変更をより高い精度で分類できることを確認した。また、提案手法により API に対して行われたリファクタリングの検出数が増加したことが明らかになった。

2. 準備

2.1 RefDiff

RefDiff とはリファクタリングを検出するツールの 1 つである。Java ライブラリの 2 つのバージョンを入力として受け取り、静的解析とコードの類似性に基づいてそのバージョン間で適用されたリファクタリング操作のリストを出力する。このリストには API に対して行われたリファクタリング操作だけでなく、プライベートメソッドに対するリファクタリングのように API 以外のクラスやメソッド、フィールドに対して行われたリファクタリング操作も含まれている。コードの類似性の閾値は、10 個の OSS からランダムに選択された 10 個のコミットに対する実験結果をもとに決定されている。

2.2 APIDiff の検出方法

APIDiff は Java ライブラリの 2 つのバージョンを入力として受け取り、静的解析と RefDiff を用いてそのバージョン間で API に対して行われた変更操作のリストを出力する。

API の変更の検出は次の 5 つのステップで構成される。その概要を図 1 に示す。

Step 1 2 つのバージョンのライブラリインスタンスを作成

Step 2 バージョン間で行われたリファクタリングの検出

Step 3 変更前後の API 要素の対応付け

Step 4 API の要素とリファクタリング操作の対応付け

Step 5 API の変更操作のリスト作成

Step 1 では入力として受け取った Java ライブラリの 2 つのバージョンに対して静的解析を行い、バージョンごとのライブラリのインスタンスを作成する。このインスタンスは可視性修飾子が `public` または `protected` で外部に公開されているクラス、メソッド、フィールドといった API の要素の情報を保持している。

Step 2 では APIDiff の入力として与えられた Java ライブラリの 2 つのバージョンを RefDiff の入力として与え、そのバージョン間で適用されたリファクタリング操作のリストを得る。

Step 3 では Step 1 で得られた変更前後のライブラリインスタンスを比較し、変更前後の API 要素の対応付けを行う。クラスについては完全限定名が一致するクラスを、メソッドについてはそのメソッドが所属するクラスの完全限定名とメソッド名、パラメータの並びの 3 種類全てが一致するメソッドを、フィールドについてはそのフィールドが所属するクラスの完全限定名とフィールド名が一致するフィールドを対応付ける。

Step 4 では、Step 3 で対応付けることができなかった API の要素と Step 2 で得られたリファクタリング操作の対応付けを行う。対応付けられなかった API の要素がリファクタリングされた要素、そうでなければ削除された要素または追加された要素として分類する。

Step 5 では、Step 3 と Step 4 で行われた API 要素の対応付けの結果と API 要素の情報を参照し、どの API が削除・追加・リファクタリングされたのか、どの API が非推奨化されたのか、どの API の可視性修飾子が変更されたのか、どのフィールドが型を変更されたのか、どのメソッドが戻り値の型を変更されたのか、といった情報を得る。それらの情報をもとに API の変更操作のリストを作成する。

図 1において、Step 3 で対応付けができた API の要素は変更前のメソッド b とメソッド c、変更後のメソッド B とメソッド e である。RefDiff によって得られるリストよりメソッド b がメソッド B にリネームされたことがわかるので、メソッド b とメソッド B が対応付けられ、それ以外のメソッド c は削除された API の要素、メソッド e は追加された API の要素だと判断される。

3. 研究目的

APIDiff は RefDiff によって得られるリファクタリング操作のリストをもとに API の要素をリファクタリングされた要素、削除された要素、追加された要素に分類している。しかしコードの類似性の閾値を適切に設定することは難しく、RefDiff で検出できないリファクタリングが存在する。そのため RefDiff が API に対するリファクタリングを検出できなかった場合は、そのリファクタリングされた API の要素を削除された要素または追加された要素として分類してしまう。

図 2 に実際の API の変更操作と APIDiff の出力が異なる例を示す。変更前後で APIDiff を用いて得られる変更操作は、変更前のメソッド `setX(float i)` の削除、変更後のメソッド `setX(int i)` の追加となる(図 2(a))。しかし、実際に行われた API の変更操作はメソッド `setX` のパラメータを `float` から `int` に変更するリファクタリング操作である(図 2(b))。この違いは、RefDiff の類似性の閾値が高く設定されていることが原因であり、APIDiff は API のパラメータの変更として検出することができなかった。`setX(float i)` を利用していた API 利用者はパラメータの型を変更するだけで、その API を利用し続けることができるのにもかかわらず、`setX(float i)` が削除されたため同様の機能を持つ API を探す必要があると誤った認識を持ち、生産性が下がってしまうおそれがある。

そこで、本研究では類似性の閾値に依存しない方法で API の変更をより高い精度で分類する手法を提案する。

4. 提案手法

提案手法では、ステートメントマッピング情報と抽象構文木のノード置換に基づいてリファクタリングを検出する RefactoringMiner を利用し、API の変更を分類する。これによってコードの類似性の閾値に依存せず、API の変更を分類することが可能である。

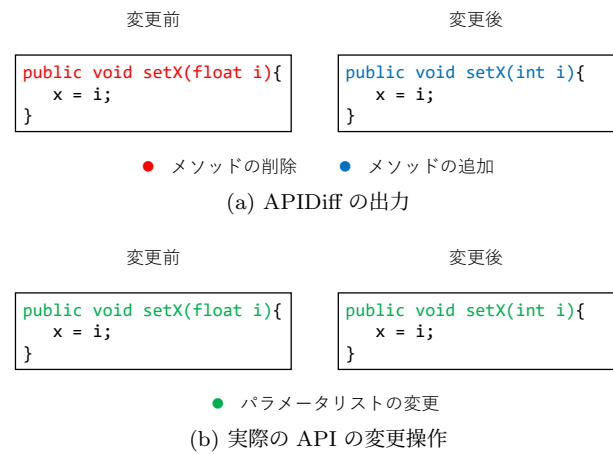


図 2 実際の API の変更操作と APIDiff の出力が異なる例

4.1 RefactoringMiner

RefactoringMiner は Java ライブラリの 2 つのバージョンを入力として受け取ると、メソッド本体のステートメントに関するマッピング情報と抽象構文木のノード置換に基づいてそのバージョン間で適用されたリファクタリング操作のリストを出力する。これによってコードの類似性の閾値に依存せずにリファクタリングを検出できる。ステートメントマッピングは、メソッドに含まれる各文を変更前後で対応付けた情報である。リファクタリング操作のリストには API に対して行われたリファクタリング操作だけでなく、API 以外のクラスやメソッド、フィールドに対して行われたリファクタリング操作も含まれている。

4.2 API の変更の分類方法

既存手法と同様に提案手法における API の変更の分類は次の 5 つのステップで構成される。その概要を図 3 に示す。
Step 1 2 つのバージョンのライブラリインスタンスを作成
Step 2 バージョン間で行われたリファクタリングの検出
Step 3 変更前後の API 要素の対応付け
Step 4 API の要素とリファクタリング操作の対応付け
Step 5 API の変更操作のリストを作成

Step 1 は既存手法の Step 1 の処理を再利用した。

Step 2 では APIDiff の入力として与えられた Java ライブラリの 2 つのバージョンを RefactoringMiner の入力として与え、バージョン間で適用されたリファクタリング操作のリストを得る。

Step 3 では既存手法と同様に変更前後の API 要素の対応付けを行う。ただしメソッドについてはそのメソッドが所属するクラスの完全限定名とメソッド名、パラメータの並びに戻り値の型を加えた 4 種類全てが一致するメソッドを、フィールドについてはそのフィールドが所属するクラスの完全限定名とフィールド名にフィールドの型を加えた 3 種類全てが一致するフィールドを対応付けるように変更した。これは既存手法のように変更前後で対応付けた API 要素の情報を比較することでフィールドの型の変更やメソッドの

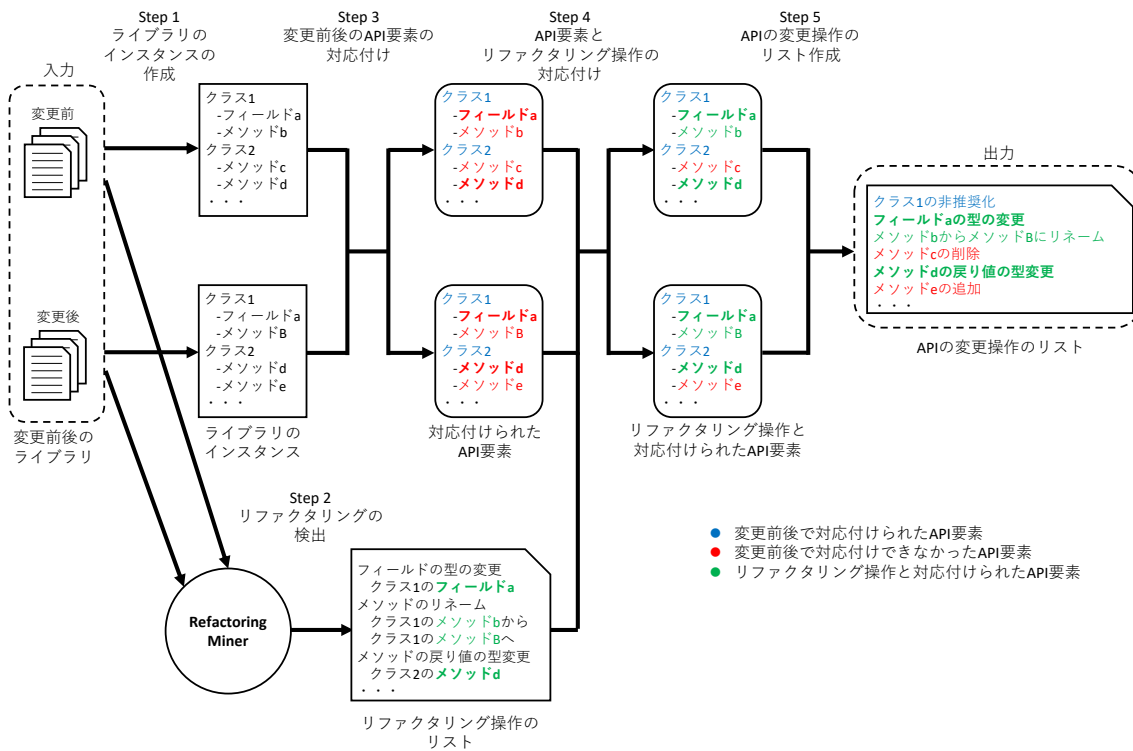


図 3 提案手法の概要

戻り値の型変更を検出するのではなく、RefactoringMinerによってフィールドの型の変更やメソッドの戻り値の型変更を検出し、そのリファクタリング操作とAPI要素と対応付けるためである。これによって変更前後でAPI要素が所属するクラスの完全限定名やAPI要素の名前などが一致しない場合でも、フィールドの型の変更やメソッドの戻り値の型変更を検出できるようになった。

Step 4, Step 5では既存手法と同様の方法でAPIの要素とリファクタリング操作の対応付けとAPIの変更操作のリスト作成を行う。

図3の例において、Step 3で対応付けができなかったAPIの要素は変更前のフィールドaとメソッドb, メソッドc, メソッドdと変更後のフィールドaとメソッドB, メソッドd, メソッドeである。RefactoringMinerによって得られるリストよりフィールドaの型が変更されたこと、メソッドbがメソッドBにリネームされたこと、メソッドdの戻り値の型が変更されたことがわかるので、変更前後のフィールドa, メソッドbとメソッドB, 変更前後のメソッドdが対応付けられる。それ以外のメソッドcは削除されたAPIの要素、メソッドeは追加されたAPIの要素だと判断される。

5. 実験

本章では、提案手法を用いて行なった実験とその結果について述べる。

5.1 評価項目

提案手法を評価するために3つの評価項目を設定した。

リファクタリングの検出数

提案手法と既存手法からそれぞれ得られる検出結果を比較し、APIに対して行われたリファクタリングの検出数にどのような変化が見られるのかを調べる。またリファクタリングの種類別に検出結果を比較し、どのような変化が見られるかを調べる。

分類精度

提案手法によってAPIの変更をより高い精度で分類できるかどうかを検証する。提案手法によって改善が期待される変更はAPIに対するリファクタリングであるため、検出されたリファクタリングが実際に正しいのかを確認する。

実行時間

提案手法の実行時間と既存手法の実行時間を比較し、提案手法の処理速度を評価する。またどの処理に時間を要するのかを確認する。

表 1 実験対象の OSS

| プロジェクト名 | LOC | コミット数 | 対象の最終コミット日 |
|----------------|--------|-------|-------------|
| OkHttp | 72,061 | 4,779 | 2021年1月9日 |
| Retrofit | 26,995 | 1,862 | 2020年12月10日 |
| MPAndroidChart | 25,232 | 2,068 | 2020年10月30日 |
| LeakCanary | 26,207 | 1,554 | 2021年1月6日 |
| Hystrix | 50,510 | 2,108 | 2018年11月20日 |
| iosched | 23,550 | 2,757 | 2020年6月26日 |
| Fresco | 98,427 | 2,768 | 2021年1月12日 |
| Logger | 1,441 | 144 | 2018年4月10日 |

5.2 実験対象

関連研究 [11] で用いられている OSS のうち、コミット数が 20,000 以下でスター数が多い OSS から順に 8 個の OSS を実験対象とした。実験対象の OSS を表 1 に示す。コミット数に制限を設けた理由は、大規模な OSS に対して提案手法、既存手法のどちらを適用しても実行時間が長くなり評価が難しいためである。リファクタリング別の検出数の比較と分類精度の比較では 8 個の OSS のうち MPAndroidChart のみを対象とした。これは APIDiff の適用事例でも利用されていた OSS である。

5.3 既存手法とのリファクタリングの検出数の比較

5.3.1 全リポジトリに対しての検出数の比較

実験対象の 8 個の OSS の master ブランチ^{*1} 上に存在する全てのコミットに対して提案手法と既存手法を適用した。提案手法と既存手法からそれぞれ得られる検出結果を比較し、API に対して行われたリファクタリングの検出数にどのような変化が見られるのかを調べた。その結果が表 3 である。既存手法では実験対象のリポジトリから 1,985 (=1,626+359) 個の API に対するリファクタリングしか検出できなかったのに対して、提案手法では 4,581 (=1,626+2,955) 個の API に対するリファクタリングを検出できた。すべてのプロジェクトにおいて提案手法が検出した API に対するリファクタリングの数が、既存手法が検出した API に対するリファクタリングの数を上回った。また提案手法のみが検出した API に対するリファクタリングの数は、提案手法または既存手法によって検出された API に対するリファクタリングの総数の 31.3%~76.6% を占めており、その平均は 59.8% であった。それに対して既存手法のみが検出した API に対するリファクタリングの数は、提案手法または既存手法によって検出された API に対するリファクタリングの総数の 3.8%~17.3% を占めており、その平均は 7.3% であった。

^{*1} LeakCanary についてはデフォルトのブランチが main ブランチであるため、main ブランチに対して実験を行なった。

5.3.2 リファクタリング別の検出数の比較

8 個の OSS の中から MPAndroidChart を選択し、提案手法と既存手法からそれぞれ得られる検出結果をリファクタリングの種類別に比較した。その結果が表 3 である。提案手法では既存手法で検出された 14 種類のリファクタリングに加えて、Change in Parameter List や Rename Field など新たに 8 種類のリファクタリングを検出した。また両手法で検出された 14 種類のリファクタリングについて提案手法は既存手法以上の数のリファクタリングを検出した。

5.4 既存手法との分類精度の比較

8 個の OSS の中から MPAndroidChart を選択し、提案手法と既存手法からそれぞれ得られる検出結果を目視確認することで分類の精度の比較を行なった。提案手法のみで検出された API に対するリファクタリングと既存手法のみで検出された API に対するリファクタリングを目視確認した。提案手法のみで検出された API に対するリファクタリングの数が多かったため、許容誤差 5%，信頼度 95% となるように 289 個サンプリングを行った。またリファクタリングの種類ごとに可能な限り均等になるようにサンプリングを行なった。既存手法のみで検出された API に対するリファクタリングは全て目視確認を行った。目視確認を行なった結果が表 3 の通りである。Change in Return Type Method と Move Method については既存手法の適合率が提案手法の適合率より高くなつたが、全体としては既存手法の適合率が 79.5% であったのに対して提案手法の適合率が 88.6% と高い結果となつた。

5.5 既存手法との実行時間の比較

実験対象の 8 個の OSS の master ブランチ上に存在する全てのコミットに対して提案手法と既存手法を適用し、実行時間を比較した。実験に用いた計算機の性能を表 4 に示す。実験結果を図 4 に示す。図 4 においてチェックアウトはライブラリを別のバージョンに切り替える処理を表す。その他には対象の OSS がローカルに存在するのかを確認する処理やコミットグラフをたどって一致するコミットを

表 2 API に対するリファクタリングの検出数

| プロジェクト名 | 両手法が検出した リファクタリングの数 | 提案手法のみが検出した リファクタリングの数 | 既存手法のみが検出した リファクタリングの数 | 合計 |
|----------------|------------------------|---------------------------|---------------------------|-------|
| OkHttp | 286 (51.4%) | 174 (31.3%) | 96 (17.3%) | 556 |
| Retrofit | 154 (48.7%) | 135 (42.7%) | 27 (8.5%) | 316 |
| MPAndroidChart | 709 (36.5%) | 1,161 (59.8%) | 73 (3.8%) | 1,943 |
| LeakCanary | 15 (16.1%) | 66 (71.0%) | 12 (12.9%) | 93 |
| Hystrix | 128 (24.4%) | 342 (65.1%) | 55 (10.5%) | 525 |
| iosched | 91 (32.7%) | 143 (51.4%) | 44 (15.8%) | 278 |
| Fresco | 226 (19.2%) | 901 (76.6%) | 50 (4.2%) | 1,177 |
| Logger | 17 (32.7%) | 33 (63.5%) | 2 (3.8%) | 52 |
| 合計 | 1,626 (32.9%) | 2,955 (59.8%) | 359 (7.3%) | 4,940 |

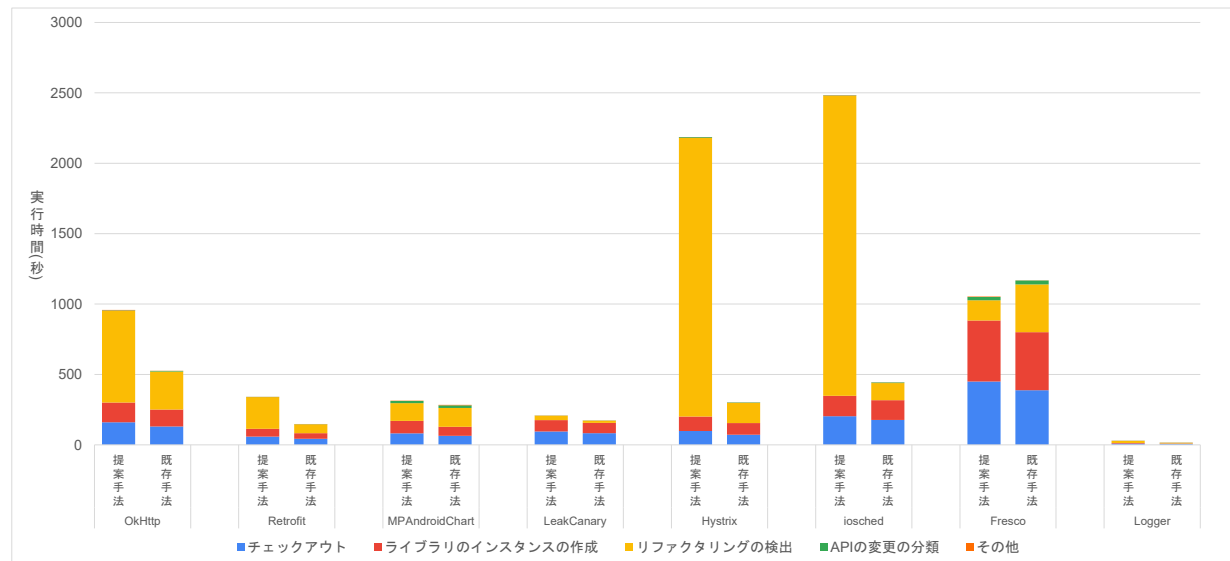


図 4 API に対する変更の検出に要する時間

順番に生成する処理などが含まれる。

Fresco を除く 7 個の OSS において提案手法の実行時間は既存手法の実行時間より長くなかった。主な原因是リファ

クタリングの検出時間が長くなつたためである。また提案手法は既存手法と比較してチェックアウトやライブラリのインスタンスの作成に要する時間も長くなつた。その原因を調べるためにどのメソッドの実行時間が増加したのかを調査した結果、APIDiff が外部ライブラリとして使用している JGit と JDT のメソッドの実行時間が増加していた。提案手法では RefactoringMiner を利用するために JGit と JDT のバージョンをアップグレードした。それによって

表 4 実験に用いた計算機の性能

| | |
|-----|------------------------------|
| OS | macOS Big Sur |
| CPU | Intel Core i5 (1.4GHz, 4 コア) |
| GPU | Intel Iris Plus Graphics 645 |
| メモリ | 16GB |

表 3 リファクタリング別の検出数と適合率

| リファクタリングの種類 | 両手法が検出した リファクタリング | 検出数 | 提案手法のみが 検出したリファクタリング | | 既存手法のみが 検出したリファクタリング | | |
|------------------------------|----------------------|-----|-------------------------|-------------|-------------------------|-----|-------------|
| | | | 検出数 | サンプル サイズ | 適合率 (%) | 検出数 | サンプル サイズ |
| Pull Up Method | | 114 | 93 | 19 | 100 | 21 | 21 |
| Rename Method | | 147 | 51 | 19 | 78.9 | 22 | 22 |
| Change in Return Type Method | | 125 | 42 | 19 | 94.7 | 3 | 3 |
| Move Method | | 59 | 39 | 19 | 15.8 | 13 | 13 |
| Move Field | | 45 | 18 | 18 | 100 | 1 | 1 |
| Push Down Method | | 27 | 24 | 19 | 100 | 3 | 3 |
| Inline Method | | 6 | 33 | 19 | 100 | 3 | 3 |
| Rename Type | | 27 | 2 | 2 | 100 | 2 | 2 |
| Push Down Field | | 6 | 2 | 2 | 100 | 1 | 1 |
| Extract Method | | 0 | 128 | 20 | 85.0 | 4 | 4 |
| Move Type | | 69 | 6 | 6 | 83.3 | 0 | 0 |
| Change in Field Type | | 53 | 8 | 8 | 100 | 0 | 0 |
| Pull Up Field | | 28 | 19 | 19 | 100 | 0 | 0 |
| Move and Rename Type | | 3 | 2 | 2 | 50.0 | 0 | 0 |
| Change in Parameter List | | 0 | 558 | 20 | 100 | 0 | 0 |
| Rename Field | | 0 | 48 | 19 | 100 | 0 | 0 |
| Extract Supertype | | 0 | 36 | 19 | 94.7 | 0 | 0 |
| Move and Rename Method | | 0 | 31 | 19 | 73.7 | 0 | 0 |
| Extract Type | | 0 | 13 | 13 | 92.3 | 0 | 0 |
| Extract Field | | 0 | 3 | 3 | 100 | 0 | 0 |
| Move and Rename Field | | 0 | 3 | 3 | 100 | 0 | 0 |
| Extract Subtype | | 0 | 2 | 2 | 100 | 0 | 0 |
| 平均 | | 709 | 1,161 | 289 | 88.6 | 73 | 73 |
| | | | | | | | 79.5 |

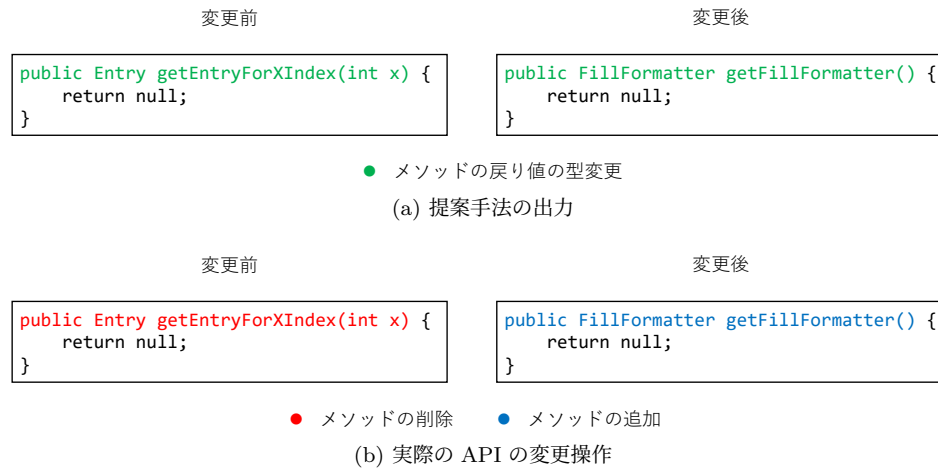


図 5 提案手法が Change in Return Type として誤って検出した例

JGit と JDT の API の処理が変更され、その API を利用していたチェックアウトやライブラリのインスタンスの作成の実行時間が増加した。

6. 考察

表 3において提案手法の適合率より既存手法の適合率が高い Change in Return Type Method および Move Method について考察する。また Extract Supertype および Extract Method について、検出数に違いが見られた要因をコードの類似性の閾値以外の観点から考察する。Extract Supertype は既存手法でも仕様上検出可能とされている種類だが、実際には検出されなかった変更である。Extract Method は両手法で検出可能なリファクタリングの種類のうち両手法が検出した数が 0 であった変更である。

6.1 Change in Return Type Method

表 3において既存手法のみが検出したリファクタリングは 3 個のみであったのに対して提案手法のみが検出した数は 42 個となっており、提案手法の方がより多くのリファクタリングを検出している。また提案手法の適合率は 94.7% であり、既存手法の適合率 100% と比べると低いがその差は小さい。

既存手法では戻り値の型に加えてパラメータリストおよびメソッド名が変更された場合、Change in Return Type Method を検出できなかった。しかし提案手法ではそのような場合でも Change in Return Type Method を検出できた。提案手法がメソッドの削除およびメソッドの追加を Change in Return Type Method として誤って検出した実際の例を図 5 に示す。変更前後で提案手法を用いて得られる変更操作は、メソッドの戻り値の型変更となる(図 5(a))。しかし実際に行われた API の変更操作は `getEntryForXIndex(int x)` の削除および `getFillFormatter()` の追加である(図 5(b))。この違いは、メソッド本体の `return` 文だけではメソッド

`getEntryForXIndex(int x)` と `getFillFormatter()` が異なるメソッドであると RefactoringMiner が判別できなかつたことが原因である。これを解決するためにはメソッド本体の文が一致するかどうかだけでなく、一致する文がいくつあるのかも考慮する。

6.2 Move Method

表 3において提案手法の検出数は既存手法の検出数よりも多いが、適合率が 15.8% と低い値となっている。これは、RefactoringMiner が一部の Pull Up Method と Push Down Method を Move Method として出力してしまうためである。提案手法では RefactoringMiner の検出結果を利用しているため、本来 Pull Up Method や Push Down Method として分類すべき変更を Move Method として誤って分類してしまう。これを解決するためには RefactoringMiner による誤検出を改善する必要がある。

6.3 Extract Supertype および Extract Method

表 3において Extract Supertype および Extract Method について検出数に違いが見られた。これは提案手法と既存手法で API のクラスおよびメソッドとリファクタリング操作の対応付けの実装が異なるためである。API のクラスおよびメソッドは可視性修飾子が `public` または `protected` であり外部に公開されているクラスおよびメソッドである。

まず Extract Supertype について述べる。Extract Supertype とはクラスの一部を切り出してスーパークラスを作成する変更である。以降では Extract Supertype によって作成されたスーパークラスを抽出されたスーパークラス、一部を切り出されるクラスを抽出元のクラスと呼称する。両手法においてまず変更前後でクラスの完全限定名が一致する API のクラスを対応付ける。対応付けることができなかつた API のクラスが RefDiff または RefactoringMiner によって得られるリファクタリング操作のリストに含まれていれば、リファクタリングされたクラス、そうでなけれ

ば削除されたクラスまたは追加されたクラスとして分類する。変更前後で対応付けることができなかった API のクラスと Extract Supertype の対応付けについて提案手法では、対応付けることができなかった変更後の API のクラスが抽出されたスーパークラスなのかを調べる。それに対して既存手法では対応付けることができなかった変更前の API のクラスが抽出元のクラスなのかを調べる。提案手法で検出された Extract Supertype を確認したところ、抽出元のクラスの完全限定名は変更されていなかった。変更前の抽出元のクラスと変更後の抽出元のクラスが対応付けられるため、既存手法ではリファクタリング操作との対応付けが行われず、Extract Supertype の検出数が 0 となった。

次は Extract Method について述べる。Extract Method とはメソッドの一部を切り出して別のメソッドにする変更である。以降では Extract Method によって作成されたメソッドを抽出されたメソッド、一部を切り出されるメソッドを抽出元のメソッドと呼称する。変更前後で対応付けることができなかった API のメソッドと Extract Method の対応付けについて提案手法では、対応付けることができなかった変更後の API のメソッドが抽出されたメソッドなのかを調べる。それに対して既存手法では対応付けることができなかった変更前の API のメソッドが抽出元のメソッドなのかを調べる。提案手法または既存手法で検出された Extract Method の大部分で、変更前の抽出元のメソッドと変更後の抽出元のメソッドが対応付けられるため、既存手法ではリファクタリング操作との対応付けが行われず、Extract Method の検出数が少なくなった。

7. 妥当性の脅威

提案手法の分類の精度を評価するために目視確認を行なった。しかしこの結果は著者の主観に依存しており、リファクタリングでないにも関わらずリファクタリングと判断したり、リファクタリングであるにも関わらずリファクタリングでないと判断したりしている可能性がある。

検出数が少ないリファクタリングについて十分な数を目視確認することができなかったため、適合率を適切に求められていない可能性がある。

8. おわりに

本研究では、コードの類似性の閾値に依存せず抽象構文木を用いてリファクタリングを検出する RefactoringMiner を利用し、API の変更を分類する手法を提案した。提案手法を用いて 8 個の OSS に対して実験を行ったところ、既存手法と比べて API の変更をより高い精度で分類できることを確認した。また、提案手法により API に対して行われたリファクタリングの検出数が増加したことが明らかになった。

今後の課題としては対象の OSS を増やし、検出数が少

ないリファクタリングについて十分な数を目視確認することや実行時間を短縮できるようにツールを改善することが挙げられる。

謝辞 本研究の一部は、日本学術振興会科学研究費補助金基盤研究（B）（課題番号：20H04166）の助成を得て行われた。

参考文献

- [1] Moser, S. and Nierstrasz, O.: The effect of object-oriented frameworks on developer productivity, *Computer*, Vol. 29, No. 9, pp. 45–51 (online), DOI: 10.1109/2.536783 (1996).
- [2] Michail, A.: Data mining library reuse patterns in user-selected applications, *14th IEEE International Conference on Automated Software Engineering*, pp. 24–33 (online), DOI: 10.1109/ASE.1999.802089 (1999).
- [3] Moreno, L., Bavota, G., Penta, M. D., Oliveto, R., Marcus, A. and Canfora, G.: ARENA: An Approach for the Automated Generation of Release Notes, *IEEE Transactions on Software Engineering*, Vol. 43, No. 2, pp. 106–127 (online), DOI: 10.1109/TSE.2016.2591536 (2017).
- [4] Brito, A., Xavier, L., Hora, A. and Valente, M. T.: APIDiff: Detecting API breaking changes, *2018 IEEE 25th International Conference on Software Analysis, Evolution and Reengineering (SANER)*, pp. 507–511 (online), DOI: 10.1109/SANER.2018.8330249 (2018).
- [5] Silva, D. and Valente, M. T.: RefDiff: Detecting Refactorings in Version Histories, *2017 IEEE/ACM 14th International Conference on Mining Software Repositories (MSR)*, pp. 269–279 (online), DOI: 10.1109/MSR.2017.14 (2017).
- [6] Xavier, L., Brito, A., Hora, A. and Valente, M. T.: Historical and impact analysis of API breaking changes: A large-scale study, *2017 IEEE 24th International Conference on Software Analysis, Evolution and Reengineering (SANER)*, pp. 138–147 (online), DOI: 10.1109/SANER.2017.7884616 (2017).
- [7] Brito, A., Xavier, L., Hora, A. and Valente, M. T.: Why and how Java developers break APIs, *2018 IEEE 25th International Conference on Software Analysis, Evolution and Reengineering (SANER)*, pp. 255–265 (online), DOI: 10.1109/SANER.2018.8330214 (2018).
- [8] Brito, A., Valente, M. T., Xavier, L. and Hora, A.: You broke my code: understanding the motivations for breaking changes in APIs, *Empirical Software Engineering*, pp. 1458–1492 (online), DOI: 10.1007/s10664-019-09756-z (2020).
- [9] Xavier, L., Hora, A. and Valente, M. T.: Why do we break APIs? First answers from developers, *2017 IEEE 24th International Conference on Software Analysis, Evolution and Reengineering (SANER)*, pp. 392–396 (online), DOI: 10.1109/SANER.2017.7884640 (2017).
- [10] Tsantalis, N., Ketkar, A. and Dig, D.: RefactoringMiner 2.0, *IEEE Transactions on Software Engineering*, pp. 1–1 (online), DOI: 10.1109/TSE.2020.3007722 (2020).
- [11] Cedrim, D., Garcia, A., Mongiovì, M., Gheyi, R., Sousa, L., de Mello, R., Fonseca, B., Ribeiro, M. and Chávez, A.: Understanding the Impact of Refactoring on Smells: A Longitudinal Study of 23 Software Projects, *Proceedings of the 2017 11th Joint Meeting on Foundations of Software Engineering*, pp. 465–475 (online), DOI: 10.1145/3106237.3106259 (2017).